

Abstract

В работе приведены различные модификации алгоритма Frank-Wolfe для задачи поиска равновесного распределения потоков. В качестве модели для экспериментов используется модель Бекмана. В этой статье в первую очередь уделяется внимание выбору направления базового шага алгоритма Frank-Wolfe (FW). Будут представлены алгоритмы: Conjugate Frank-Wolfe (CFW), Bi-conjugate Frank-Wolfe (BFW), Fukushima Frank-Wolfe (FFW). Каждой модификации соответствуют различные подходы к выбору этого направления. Некоторые из этих модификаций описаны в предыдущих работах авторов. В данной статье будут предложены алгоритмы N-conjugate Frank-Wolfe (NFW) и Weighted Fukushima Frank-Wolfe (WFFW). Эти алгоритмы являются некоторым идейным продолжением алгоритмов BFW и FFW. Таким образом, если первый алгоритм использовал на каждой итерации два последних направления предыдущих итераций для выбора следующего направления, сопряженного к ним, то предложенный алгоритм NFW использует N предыдущих направлений. В случае же Fukushima Frank-Wolfe — в качестве следующего направления берется среднее от нескольких предыдущих направлений. Соответственно этому алгоритму предложена модификация WFFW, использующая экспоненциальное сглаживание по предыдущим направлениям. Для сравнительного анализа были проведены эксперименты с различными модификациями на нескольких наборах данных, представляющих городские структуры и взятых из общедоступных источников. За метрику качества была взята величина относительного зазора. Результаты экспериментов показали преимущество алгоритмов, использующих предыдущие направления для выбора шага, перед классическим алгоритмом Frank-Wolfe. Кроме того, было выявлено улучшение эффективности при использовании более двух сопряженных направлений. Например, на многих датасетах модификация 3-conjugate FW сходилась наилучшим образом. Кроме того, предложенная модификация WFFW зачастую обгоняла FFW и CFW, хотя и проигрывала модификации NFW.

Модификации алгоритма Frank-Wolfe в задаче поиска равновесного распределения транспортных потоков

A Preprint

11 марта 2024 г.

Работа Игнашина И.Н. была выполнена при поддержке ежегодного дохода ФЦК МФТИ (целевого капитала № 5 на развитие направлений искусственного интеллекта и машинного обучения в МФТИ, <https://fund.mipt.ru/capitals/ck5/>).

Работа Ярмошика Д.В. была выполнена при поддержке Министерства науки и высшего образования Российской Федерации (госзадание), номер проекта FSMG-2024-0011

Введение Задача поиска равновесного распределения потоков является одним из фундаментальных аспектов транспортного планирования. На данный момент, методологии, основанные на машинном обучении, не достигли эффективности, сравнимой с подходами на основе теоретико-игровых моделей [Rahman, Hasan, 2022]. Поэтому исследования продолжаются в рамках модели Бекмана. Проводятся исследования различных алгоритмов для решения задачи поиска равновесного распределения потоков. Так, в работе [Babazadeh, 2020] представлен алгоритм, использующий пути в явном виде, потому требующий больше памяти, но достаточно эффективно работающий по времени. Также эф-

фективными в данной задаче являются алгоритмы, основанные на использовании потоков по дорогам, к которым относится алгоритм Frank-Wolfe.

Алгоритм Frank-Wolfe нашел применение во многих областях, в том числе в транспортной логистике и телекоммуникациях. Этот метод оптимизации решает задачи математического программирования с ограничениями, но, несмотря на свою эффективность, его основной недостаток заключается в быстром замедлении сходимости после первых десятков итераций, что создает необходимость искать модификации этого алгоритма.

Алгоритм Frank-Wolfe (FW) был предложен в работе [Frank, Wolfe, 1956]. В статье [Pedregosa et al., 2020] проведен современный анализ сходимости алгоритма FW и получены оценки, которые могут быть использованы в контексте задачи, рассматриваемой в настоящей статье.

Одна из наиболее эффективных модификаций алгоритма FW — это Conjugate Frank-Wolfe (CFW). Данная модификация использует для выбора направления шага предыдущие направления, что позволяет бороться с известной проблемой “зигзага” в методе FW [Braun et al., 2022] аналогично методу сопряженных градиентов.

Алгоритм CFW хорошо описан в статье [Mitradjieva, Lindberg, 2012]. В статье доказывается глобальная сходимость алгоритма CFW. В статье также предлагается алгоритм Bi-conjugate Frank-Wolfe (BFW), в котором теперь берется выпуклая комбинация из двух предыдущих направлений и шага FW, а новое направление d^k должно быть сопряженным к этим предыдущим направлениям.

В текущей статье предлагается алгоритм N-conjugate Frank-Wolfe (NFW), обобщающий CFW до числа сопряженных направлений равного $N > 2$. То есть используются 3 и более предыдущих направления для выбора следующего направления шага, сопряженного ко всем предыдущим N направлениям.

Другой известной модификацией FW является алгоритм Fukushima Frank-Wolfe (FFW), предложенный в статье [Fukushima, 1984]. Метод хорошо описан в статье [Arrache, 2008], в которой также предлагаются некоторые модификации алгоритма. Данный алгоритм из того же класса, что и CFW, BFW, NFW, ведь использует для следующего направления шага предыдущие направления FW, а именно берет их среднее.

В текущей статье предлагается алгоритм-модификация Weighted Fukushima Frank-Wolfe (WFFW). Данный алгоритм использует вместо обычного среднего по направлениям — экспоненциальное сглаживание.

Перечислим ключевые результаты данной статьи:

1. Дан обзор существующих модификаций алгоритма FW для задачи распределения потоков;
2. Предложены новые модификации алгоритма FW: NFW и WFFW;
3. Проведены численные эксперименты с использованием открытого датасета [Stabler et all., 2023]. Установлено, что в большинстве случаев наиболее эффективным оказывается алгоритм NFW при $N = 3$.

Постановка задачи В данной работе рассматривается модель Бекмана. Задача равновесного распределения потоков сводится к минимизации следующей потенциальной функции:

$$\Psi(f) = \sum_{e \in \mathcal{E}} \underbrace{\int_0^{f_e} \tau_e(z) dz}_{\sigma_e(f_e)} \longrightarrow \min_{f = \Theta x, x \in X}. \quad (\text{Primal})$$

В качестве функций затрат τ_e , оценивающих время проезда по дорогам при заданных потоках, используются классические BPR-функции:

$$\tau_e(f_e) = \bar{t}_e \left(1 + \rho \left(\frac{f_e}{\bar{f}_e} \right)^{\frac{1}{\mu}} \right). \quad (\text{Beckman})$$

$\tau(f) \equiv \{\tau_e(f_e)\}_{e \in \mathcal{E}}$ — Время проезда по дорогам с заданным потоком. (times)

$\rho, \mu, \bar{t}_e, \bar{f}_e$ — Константы в модели Бекмана.

Задан граф дорог, а задача — найти оптимальное распределение потоков:

$$\begin{aligned} \mathcal{E} &— Ребра дорожного графа. & (roads) \\ f \equiv \{f_e\}_{e \in \mathcal{E}} &— Потоки по дорогам. & (flows) \end{aligned}$$

Предполагается, что заданы пары источников и стоков, а также корреспонденции по ним:

$$\begin{aligned} OD &\equiv \{(i, j) | i \in O, j \in D\} — Множество пар источник-сток. & (origin-destination) \\ \{d_{(i,j)}\}_{(i,j) \in OD} &— Корреспонденции или заданный поток машин из i в j. & (correspondences) \\ \mathcal{P} = \{\mathcal{P}_{i,j}\}_{(i,j) \in OD} &— Множество всех путей из O в D. \end{aligned}$$

Корреспонденции, соответствующие каждой паре источник-сток, аддитивно разбиваются на потоки по путям, связывающим эти пары:

$$X = \{x | d_{(i,j)} = \sum_{p \in \mathcal{P}_{i,j}} x_p, x_p \geq 0 \forall (i, j) \in OD\}.$$

Потоки по всем путям, проходящим по некоторой дороге, накладываются и порождают некоторую величину потока на этой дороге. Это можно записать компактно, введя матрицу принадлежности ребер путям:

$$\begin{aligned} \Theta &\equiv \{\delta_{e,p}\}_{e \in \mathcal{E}, p \in \mathcal{P}} — Матрица принадлежности ребер путям p. \\ x &\equiv \{x_p\}_{p \in \mathcal{P}} — Потоки по заданным путям p. & (flow on path) \\ f &= \Theta x — Связь потоков по дорогам и по путям. \end{aligned}$$

Сама задача подробно описана в работе [Котлярова и др., 2021].

Алгоритмы В данном параграфе все модификации алгоритма Frank-Wolfe используют общий подход: поиск направления шага d^k с использованием либо последних направлений FW y_k^{FW} , либо последних шагов $d^{k-m} \equiv s^{k-m} - f^{k-m}$.

Frank-Wolfe Алгоритм Frank-Wolfe можно разбить на два этапа: линейная аппроксимации целевой функции с последующей минимизацией линейного функционала и поиск направления шага с применением одномерной минимизации.

В разложении в ряд Тейлора целевой функции оставляется только первый линейный член, который потом используется в минимизации функции:

$$\Psi_k(y) \equiv \Psi(f^k) + \langle \nabla \Psi(f^k), y - f^k \rangle. & (linear \ approx)$$

Решается линейная задача:

$$\min_{y=\Theta x, x \in X} \Psi_k(y) \iff \min_{y=\Theta x, x \in X} \langle \nabla \Psi(f^k), y \rangle. & (linear \ problem \ (LP))$$

Далее делается шаг в направлении решения линейной задачи, а длина шага подбирается с помощью линейного поиска:

$$\begin{aligned} s_k^{FW} &\equiv \arg \min_{y=\Theta x, x \in X} \langle \nabla \Psi(f^k), y \rangle = \arg \min_{y=\Theta x, x \in X} \langle \tau(f^k), y \rangle. & (solve \ LP) \\ d_k^{FW} &= s_k^{FW} - f^k. & (directional) \\ f^{k+1} &= f^k + \gamma_k d_k^{FW}, \gamma_k = \arg \min_{\gamma \in [0,1]} (f^k + \gamma d_k^{FW}). & (linesearch) \end{aligned}$$

Стоит заметить, что наиболее вычислительно затратная операция в алгоритме FW для задачи распределения потоков — решение линейной подзадачи алгоритмами поиска кратчайших путей. Сама же целевая функция представляется в виде суммы простых одномерных функций, и вычисление её и её производных значительно проще поиска кратчайших путей в графе. Поэтому добавление в алгоритм FW процедур линейного поиска или описанного далее поиска сопряженных направлений не приводит к заметному увеличению сложности итерации.

В дальнейшем решение линейной задачи будет называться направлением FW и обозначаться y_k^{FW} или s_k^{FW} . При этом данная линейная задача минимизации решается путем поиска кратчайших путей в графе дорог с текущими затратами $\tau(f^k)$, ведь $\langle \tau(f^k), y \rangle$ равно суммарным затратам при запуске потоков y по дорогам.

На данный момент известна сходимость алгоритма по прямой функции $\Psi(f)$ и по зазору FW из статьи [Pedregosa et al., 2020], где L — константа Липшица градиента, $\text{diam}(C)$ — диаметр множества $\{f|f = \Theta x, x \in X\}$.

$$\begin{aligned} g_k &\equiv \max_{s=\Theta x, x \in X} \langle \nabla \Psi(f^k), f^k - s \rangle. && \text{(frank-wolfe gap)} \\ g_k^* &= \min_{m \in \overline{1..k}} g_m. && \text{(min FW gap)} \\ g_k^* &\leq \frac{\min\{2h_0, L \text{diam}(C)^2\}}{\sqrt{k+1}}. && \text{(FW gap convergence)} \\ \Psi(f^k) - \Psi(f^*) &\leq \frac{2L \text{diam}(C)^2}{k+1}. && \text{(primal convergence)} \end{aligned}$$

Эти результаты применимы и к FW в задаче поиска равновесного распределения потоков с моделью Бекмана. Ведь диаметр множества потоков по путям ограничен в силу того, что оно является прямым произведением многомерных симплексов. Липшицевость градиента обеспечивается на этом компакте.

Algorithm 1 Frank–Wolfe algorithm

- 1: $t^0 := \bar{t}$, $f^0 := \arg \min_{s \in \{\Theta x: x \in X\}} \langle t^0, s \rangle$, $k := 0$
- 2: repeat
- 3: $s^k := \arg \min_{s \in \{\Theta x: x \in X\}} \langle t^k, s \rangle$, $t_e^k := \frac{\partial \Psi(f^k)}{\partial f_e} = \tau_e(f^k)$
- 4: $\gamma_k := \arg \min_{\gamma \in [0,1]} ((1-\gamma)f^k + \gamma s^k)$ or $\frac{2}{k+1}$
- 5: $f^{k+1} := (1-\gamma_k)f^k + \gamma_k s^k$
- 6: $k := k + 1$
- 7: until $k < \text{max_iter}$

Conjugate Frank-Wolfe Идея данного алгоритма заключается в выборе направления шага s^k , как выпуклой комбинации предыдущего направления s^{k-1} и направления s_k^{FW} , соответствующего обычному FW шагу:

$$s^k = \alpha_0 s_k^{FW} + \alpha_1 s^{k-1}. \quad \text{(convex combination)}$$

Выбор же коэффициентов в выпуклой комбинации находится из условия сопряженности нового шага d^k к предыдущему d^{k-1} по гессиану минимизируемого функционала $\nabla^2 \Psi(f^k)$:

$$(d^k)^T \nabla^2 \Psi(f^k) d^{k-1} = 0. \quad \text{(conjugate)}$$

Гессиан $\nabla^2 \Psi(f^k)$ находится аналитически в случае модели Бекмана и вычисляется за такое же время, как и градиент.

В статье [Mitradjjeva, Lindberg, 2012] также предлагается алгоритм Bi-conjugate Frank-Wolfe (BFW), в котором теперь берется выпуклая комбинация из двух предыдущих направлений и шага FW, а новое направление d^k должно быть сопряженным к этим предыдущим направлениям по гессиану в текущей точке f^k :

$$\begin{aligned} (d^k)^T \nabla^2 \Psi(f^k) d^{k-1} &= 0. \\ (d^k)^T \nabla^2 \Psi(f^k) d^{k-2} &= 0. \end{aligned} \quad \text{(bi-conjugate)}$$

При этом делается предположение о сопряженности двух предыдущих направлений по новому гессиану, позволяющее получить коэффициенты выпуклой комбинации:

$$(d^{k-1})^T \nabla^2 \Psi(f^k) d^{k-2} = 0. \quad \text{(assumption)}$$

Вывод этих коэффициентов написан в статье [Mitradjieva, Lindberg, 2012].

Algorithm 2 Conjugate Frank–Wolfe algorithm

$t^0 := \bar{t}$, $f^0 := \arg \min_{s \in \{\Theta x: x \in X\}} \langle t^0, s \rangle$, $k := 0$, $x^* := f^0$
2: FWM step for initialize f^1
repeat
4: $s^k := \arg \min_{s \in \{\Theta x: x \in X\}} \langle t^k, s \rangle$, $t_e^k := \frac{\partial \Psi(f^k)}{\partial f_e} = \tau_e(f^k)$
 $\alpha := \frac{(x^* - f^k)^T H^k (s^k - f^k)}{(x^* - f^k)^T H^k (s^k - f^{k-1})}$, где $H^k = \nabla^2 \Psi(f^k)$
6: Project α to $[0, \alpha_0]$
 $x^* := \alpha x^* + (1 - \alpha)s^k$
8: $\gamma_k := \arg \min_{\gamma \in [0, 1]} ((1 - \gamma)f^k + \gamma x^*)$
 $f^{k+1} := (1 - \gamma_k)f^k + \gamma_k x^*$
10: $k := k + 1$
until $k < \text{max_iter}$

Fukushima Frank-Wolfe Автор статьи [Fukushima, 1984] предлагает брать среднее от последних l направлений FW $\{y_{k-m}^{FW}\}_{m=0}^l$:

$$s^k = \frac{1}{l+1} \left(s_k^{FW} + \sum_{i=1}^l s_{k-i}^{FW} \right). \quad (\text{mean directions})$$

Также добавляется условие на оптимальность выбора этого среднего по сравнению с выбором только последнего направления FW.

Algorithm 3 Fukushima Frank–Wolfe algorithm

$l \in \mathbb{N}$
 $t^0 := \bar{t}$, $f^0 := \arg \min_{s \in \{\Theta x: x \in X\}} \langle t^0, s \rangle$, $k := 0$
3: repeat
 $s^k := \arg \min_{s \in \{\Theta x: x \in X\}} \langle t^k, s \rangle$, $t_e^k := \frac{\partial \Psi(f^k)}{\partial f_e} = \tau_e(f^k)$
 $q = \min(k, l) - 1$
6: $\nu_k = \sum_{i=k-q}^k \mu_i s^i - f^k$, $\sum_{i=k-q}^k \mu_i = 1$, $\mu_i \geq 0$
 $w_k = s^k - f^k$
9: $d^k = \begin{cases} \nu_k, & \text{если } \frac{\nabla \Psi(f^k)^T \nu_k}{\|\nu_k\|} \leq \frac{\nabla \Psi(f^k)^T w_k}{\|w_k\|} \\ w_k, & \text{иначе} \end{cases}$
 $\gamma_k := \arg \min_{\gamma \in [0, 1]} (f^k + \gamma d^k)$
 $f^{k+1} := f^k + \gamma_k d^k$
12: $k := k + 1$
until $k < \text{max_iter}$

Weighted Fukushima Frank-Wolfe Идея брать скользящее среднее по предыдущим направлениям в FFW привела к идее делать экспоненциальное сглаживание по этим направлениям. Поэтому предлагается Weighted FFW (WFFW), в котором производится экспоненциальное сглаживание по направлениям FW s_k^{FW} :

$$Q_k = \beta Q_{k-1} + (1 - \beta) s_k^{FW} \quad (\text{exponential smoothing})$$

$$d_k = Q_k - f^k. \quad (\text{direction})$$

Algorithm 4 Weighted Fukushima Frank–Wolfe algorithm

$W \in [0, 1]$
 $t^0 := \underline{t}$, $f^0 := \arg \min_{s \in \{\Theta x: x \in X\}} \langle t^0, s \rangle$, $k := 0$, $Q^0 = f^0$
repeat

4: $s^k := \arg \min_{s \in \{\Theta x: x \in X\}} \langle t^k, s \rangle$, $t_e^k := \frac{\partial \Psi(f^k)}{\partial f_e} = \tau_e(f^k)$
 $Q^k = (1 - W)Q^{k-1} + Ws^k$
 $d^k = Q^k - f^k$
 $\gamma_k := \arg \min_{\gamma \in [0, 1]} (f^k + \gamma d^k)$

8: $f^{k+1} := f^k + \gamma_k d^k$
 $k := k + 1$
until $k < \text{max_iter}$

N-conjugate Frank-Wolfe. Как и в случае Conjugate Frank-Wolfe берется выпуклая комбинация s_k^{FW} и предыдущих направлений $\{s^{k-i}\}_{i=1}^{N_{curr}}$. Имеется степень свободы, связанная с выбором коэффициентов выпуклой комбинации. Эта степень свободы позволяет сделать следующее направление сопряженным к остальным, если выполняется предположение, что предыдущие направления сопряжены между собой по новому посчитанному гессиану:

$$(d^{k-m})^T \nabla^2 \Psi(f^k) d^{k-n} = 0 \quad \forall m \neq n \in \overline{1, N_{curr}}. \quad (\text{assumption})$$

Оно техническое, ведь в дальнейших выкладках упрощает расчет коэффициентов, зануляя слагаемые в сумме. Причем оно не лишено смысла: если на предыдущих итерациях направления сопряжены по предыдущим гессианам, а гессиан медленно меняется, то с некоторой точностью предыдущие направления сопряжены и по новому гессиану.

Благодаря предположению, все направления, включая новое посчитанное, $\{d^{k-j} \quad \forall j \in \overline{0, N_{curr}}\}$ будут сопряжены между собой попарно.

Следующий шаг алгоритма — это выпуклая комбинация предыдущих направлений и нового посчитанного направления FW:

$$s^k = \alpha_0 s_k^{FW} + \sum_{m=1}^{N_{curr}} \alpha_m s^{k-m}. \quad (\text{convex combination})$$

Это можно переписать в терминах d^k :

$$d^k = \alpha_0 s_k^{FW} + \sum_{m=1}^{N_{curr}} \alpha_m s^{k-m} - f^k. \quad (\text{direction})$$

Из определения $f^k = (1 - \gamma_{k-1})f^{k-1} + \gamma_{k-1}s^{k-1}$ и $d^{k-1} = s^{k-1} - f^{k-1}$ можно получить:

$$\overline{d^{k-1}} \equiv (1 - \gamma_{k-1})d^{k-1}. \quad (1)$$

$$s^{k-1} - f^k = \overline{d^{k-1}}. \quad (2)$$

Запишем телескопическую сумму и внедрим ее в сумму, задающую направление:

$$s^{k-m} - f^k = \sum_{i=0}^{m-2} (s^{k-m+i} - s^{k-m+i+1}) + s^{k-1} - f^k. \quad (\text{telescop sum})$$

$$d^k = \alpha_0 d_k^{FW} + \sum_{m=1}^{N_{curr}} \alpha_m \left(\sum_{i=0}^{m-2} (s^{k-m+i} - s^{k-m+i+1}) + \overline{d^{k-1}} \right). \quad (3)$$

Перейдем от терминов s^k к терминам d^k и $\overline{d^k}$, воспользовавшись выражением (2), а после перепишем сумму в этих терминах и получим удобную запись направления шага NFW:

$$s^{k-m+i} - s^{k-m+i+1} = s^{k-m+i} - s^{k-m+i+1} - f^{k-m+i+1} + f^{k-m+i+1} = \overline{d^{k-m+i}} - d^{k-m+i+1}. \quad (4)$$

$$d^k = \alpha_0 d_k^{FW} + \sum_{m=1}^{N_{curr}} \alpha_m \left(\sum_{i=0}^{m-2} (\overline{d^{k-m+i}} - d^{k-m+i+1}) + \overline{d^{k-1}} \right). \quad (5)$$

$$d^k = \alpha_0 d_k^{FW} + \sum_{m=1}^{N_{curr}} \alpha_m \left(\sum_{i=0}^{m-1} \overline{d^{k-m+i}} - \sum_{i=0}^{m-2} d^{k-m+i+1} \right). \quad (\text{direction NFW})$$

Теперь внедрим результаты выкладок выше в условие сопряженности ($H^k \equiv \nabla^2 \Psi(f^k)$):

$$d^{k-m} H^k d^k = 0. \quad (\text{conjugate})$$

$$d^{k-m} H^k \left[\alpha_0 d_k^{FW} + \sum_{m=1}^{N_{curr}} \alpha_m \left(\sum_{i=0}^{m-1} \overline{d^{k-m+i}} - \sum_{i=0}^{m-2} d^{k-m+i+1} \right) \right] = 0. \quad (6)$$

Добавим некоторые переобозначения и выпишем еще раз предположение:

$$d^{k-m} H^k d^{k-n} = 0 \quad \forall m \neq n \in \overline{1, N_{curr}}. \quad (\text{assumption})$$

$$A_{k-m} \equiv d^{k-m} H^k d_k^{FW}. \quad (\text{A})$$

$$B_{k-m} \equiv d^{k-m} H^k d^{k-m}. \quad (\text{B})$$

Выражение (direction NFW) имеет много нулевых слагаемых, исходя из предположения. Поэтому после упрощения выражения можно последовательно выражать каждый коэффициент α_j , начиная с α_N :

$$d^{k-m} H^k \left[\alpha_0 d_k^{FW} + \overline{d^{k-m}} \sum_{i=m}^{N_{curr}} \alpha_i - d^{k-m} \sum_{i=m+1}^{N_{curr}} \alpha_i \right] = 0. \quad (\text{simplified})$$

$$\alpha_0 A_{k-m} + (1 - \gamma_{k-m}) B_{k-m} \alpha_m + B_{k-m} \left(\sum_{i=m+1}^{N_{curr}} \alpha_i (-\gamma_{k-m}) \right) = 0. \quad (\text{add A and B})$$

В итоге можно получить выражения для α_m . Делается переобозначение $\alpha_m \equiv \beta_m \alpha_0$, после можно последовательно вычислять β_m , начиная с $m = N_{curr}$, заканчивая $m = 1$, сохраняя в памяти и последовательно изменяя сумму $\sum_{n=m+1}^{N_{curr}} \beta_n$:

$$\beta_{N_{curr}} = \frac{-A_{k-N_{curr}}}{B_{k-N_{curr}} (1 - \gamma_{k-N_{curr}})}. \quad (7)$$

$$\beta_m = \frac{-A_{k-m}}{B_{k-m} (1 - \gamma_{k-m})} + \frac{\gamma_{k-m}}{1 - \gamma_{k-m}} \sum_{n=m+1}^{N_{curr}} \beta_n \quad \forall m = N_{curr} - 1, \dots, 1. \quad (8)$$

$$\alpha_m \equiv \beta_m \alpha_0 \quad \forall m \in \overline{1, N_{curr}}. \quad (9)$$

$$\alpha_0 = \frac{1}{1 + \sum_{i=1}^{N_{curr}} \beta_i}. \quad (\text{convex combination})$$

Если $\gamma_k = 1$, то текущие потоки f^k не учитываются в получении новых f^{k+1} . В случае FW f^{k+1} будет находиться на вершине симплекса, т.е. не в относительной внутренности. Истинное решение f^* зачастую лежит в относительной внутренности. Для избежания такой ситуации используется следующая эвристика: когда $\gamma_k \geq \gamma_{max}$, то «обнуляются» накопленные N_{curr} направлений и получение N сопряженных направлений начинается с начала.

Algorithm 5 N-conjugate Frank–Wolfe algorithm

```

 $N \in \mathbb{N}$   $\gamma_{max} \in [0, 1]$ 
 $t^0 := \bar{t}$ ,  $f^0 := \arg \min_{s \in \{\Theta x: x \in X\}} \langle t^0, s \rangle$ ,  $k := 0$ ,  $N_{curr} = 1$ 
repeat
   $s_k^{FW} := \arg \min_{s \in \{\Theta x: x \in X\}} \langle t^k, s \rangle$ ,  $t_e^k := \frac{\partial \Psi(f^k)}{\partial f_e} = \tau_e(f^k)$ 
  5: Вычислить  $\{\alpha_i\}_{i=0}^{N_{curr}}$ 
   $s^k = \alpha_0 s_k^{FW} + \sum_{i=1}^{N_{curr}} \alpha_i s^{k-i}$ 
   $d^k = s^k - f^k$ 
   $\gamma_k := \arg \min_{\gamma \in [0, 1]} (f^k + \gamma d^k)$ 
   $f^{k+1} := f^k + \gamma_k d^k$ 
  10:  $N_{curr} = \begin{cases} N_{curr} + 1, & \text{если } N_{curr} < N \\ N_{curr}, & \text{если } N_{curr} = N \\ 1, & \text{если } \gamma_k > \gamma_{max} \end{cases}$ 
   $k := k + 1$ 
until  $k < \text{max\_iter}$ 

```

Эксперименты В качестве оценки эффективности алгоритмов взята величина относительного зазора, которая также используется в статьях [Mitradjieva, Lindberg, 2012] и [Arrache, 2008]:

$$RG_k \equiv \frac{UBD_k - BLB_k}{BLB_k}. \quad (\text{relative gap})$$

Относительный зазор представляет собой долю разницы между верхней оценкой минимума прямой функции и её нижней оценкой относительно последней. Эта величина служит индикатором близости текущего значения прямой функции к её минимуму в данное время.

В качестве верхней оценки берется значение прямой функции в следующей точке:

$$UBD_k \equiv \Psi(f^{k+1}). \quad (\text{upper bound})$$

Чтобы получить нижнюю оценку в относительном зазоре вводится следующая нижняя оценка:

$$LB_k \equiv \min_{y=\Theta x, x \in X} \{\Psi(f^k) + \langle \nabla \Psi(f^k), y - f^k \rangle\}. \quad (\text{def lower bound})$$

Ее можно представить в виде разности прямой функции и зазора Frank-Wolfe:

$$g^k \equiv \langle \nabla \Psi(f^k), f^k - s_k^{FW} \rangle. \quad (\text{FW gap})$$

$$LB_k = \Psi(f^k) + \langle \nabla \Psi(f^k), f^k - s_k^{FW} \rangle = \Psi(f^k) - g^k. \quad (\text{LB with FW gap})$$

В качестве нижней оценки для относительного зазора берется наибольшая нижняя оценка среди ранее посчитанных:

$$BLB_k \equiv \max_{m \in \overline{1, k}} LB_m. \quad (\text{best lower bound})$$

С использованием относительного зазора возможно провести верхнюю оценку отношения между разностью значения прямой функции в следующей точке и её минимальным значением к самому минимуму функции. Это можно показать, воспользовавшись выпуклостью прямой функции:

$$\begin{aligned} \Psi(f^*) &\geq \Psi(f^k) + \langle \nabla \Psi(f^k), f^* - f^k \rangle \geq \min_{y=\Theta x, x \in X} \{\Psi(f^k) + \langle \nabla \Psi(f^k), y - f^k \rangle\} \equiv LB_k. & (\text{convex}) \\ \Psi(f^*) &\geq BLB_k. \\ \frac{\Psi(f^{k+1}) - \Psi(f^*)}{\Psi(f^*)} &\leq \frac{\Psi(f^{k+1}) - BLB_k}{BLB_k} \equiv RG_k. \end{aligned}$$

Также можно заметить, что данная оценка более точная, чем относительный зазор Frank-Wolfe:

$$RG_k \leq \frac{\Psi(f^k) - LB_k}{BLB_k} = \frac{g^k}{BLB_k}.$$

Сравнение 3-conjugate FW с Bi-conjugate FW В данном разделе уделим внимание сравнению Bi-conjugate Frank-Wolfe с его обобщением N-conjugate Frank-Wolfe, так как в статье [Mitradjieva, Lindberg, 2012] показано, что BFW эффективней чем CFW и FW. Но для того, чтобы показать превосходство алгоритмов NFW и BFW, в эксперименты также добавлены алгоритмы: FW, WFFW, CFW.

Эксперименты были проведены на датасетах: Anaheim, SiouxFalls, Berlin-Tiergarten, Terrassa-Asymmetric, Chicago-Sketch, Berlin-Mitte-Center, Berlin-Friedrichshain, Barcelona, Berlin-Mitte-Prenzlauerberg-Friedrichshain-Center. Результаты изображены на Рис. 1, 2, 3.

В итоге, в 6 из 9 случаев NFW с $N = 3$, побеждает BFW, а в остальных случаях проигрывает. Также можно заметить, что методы CFW, FW значительно уступают по эффективности остальным рассмотренным методам.

Сравнение FFW с Weighted FFW В данном разделе проведен сравнительный анализ не только между алгоритмом FFW и его модификацией, но также включен в рассмотрение CFW, поскольку CFW выступает в качестве базовой модификации алгоритма. Результаты приведены на Рис. 4, 5.

Отмечается, что CFW проявляет сходство в процессе сходимости с FFW, в то время как WFFW демонстрирует значительное превосходство над обоими. Также можно заметить характерное поведение WFFW: в начальный момент времени он отстает от конкурирующих методов, набирая скорость, после чего обгоняет их в дальнейшем.

Сходимость относительного зазора на разных городах

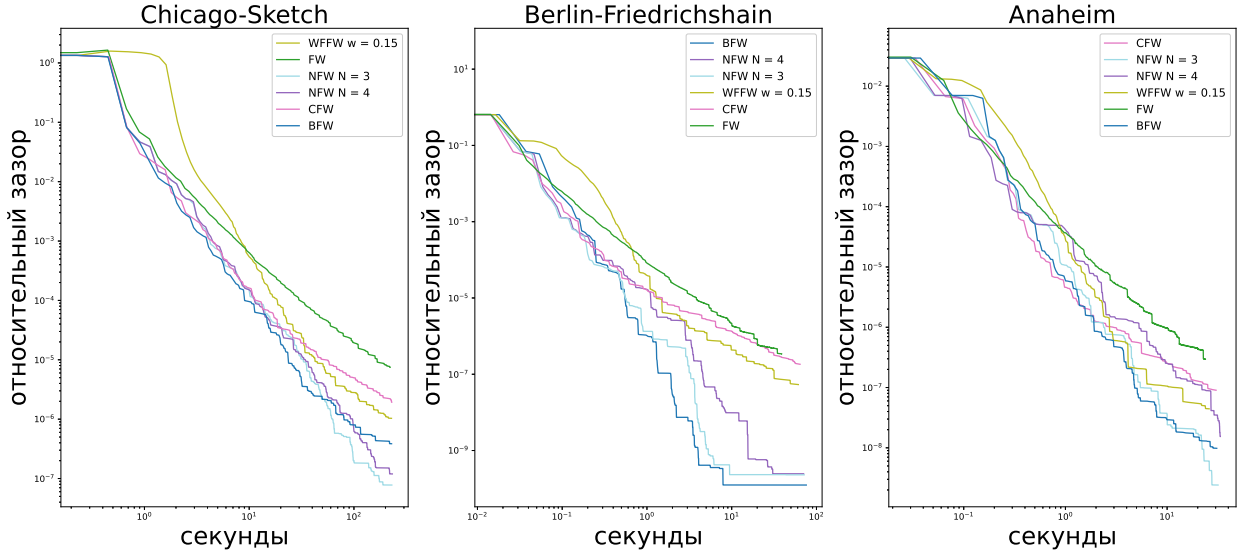


Рис. 1. Сходимость относительного зазора для алгоритмов NFW, CFW, BFW, WFFW, FW по времени (в секундах) на датасетах: Chicago-Sketch, Berlin-Friedrichshain, Anaheim.

Сходимость относительного зазора на разных городах

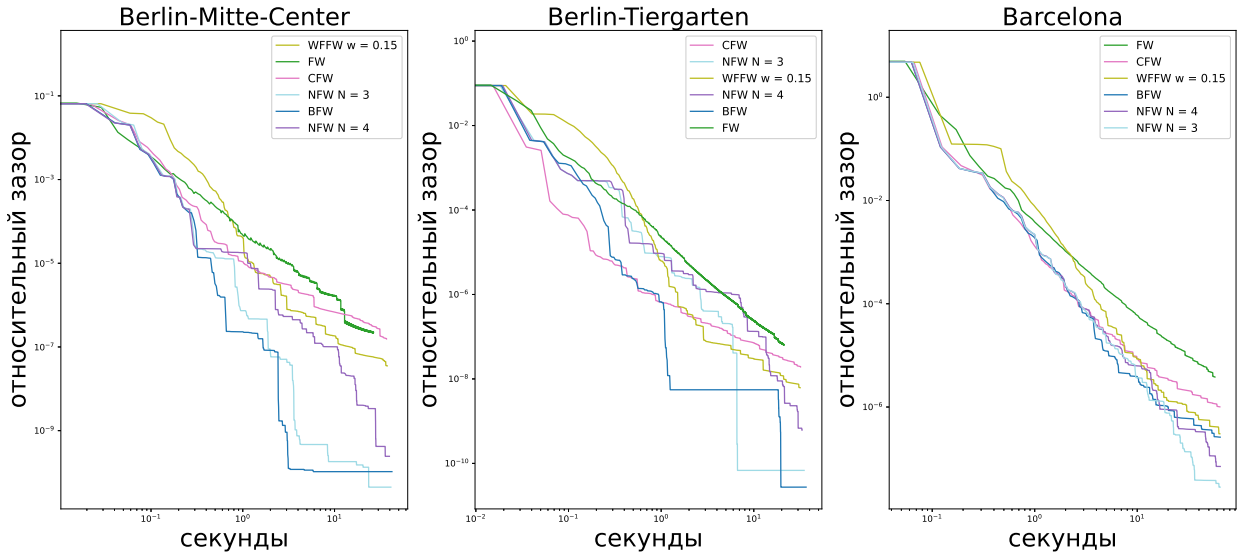


Рис. 2. Сходимость относительного зазора для алгоритмов NFW, CFW, BFW, WFFW, FW по времени (в секундах) на датасетах: Berlin-Mitte-Center, Berlin-Tiergarten, Barcelona.

Сравнение NFW для разных N . Также становится интересно проверить: как на эффективность алгоритмов NFW влияет гиперпараметр N . Результаты экспериментов приведены на Рис. 6, 7.

На датасете SiouxFalls лучшей моделью оказалась модель с $N = 3$. На датасете Berlin-Friedrichshain, в свою очередь, лидировал Bi-conjugate Frank-Wolfe. На датасете Terrassa-Asymmetric лучшей моделью оказалась модель с $N = 6$. Интересным является неожиданное обстоятельство, заключающееся в том,

Сходимость относительного зазора на разных городах

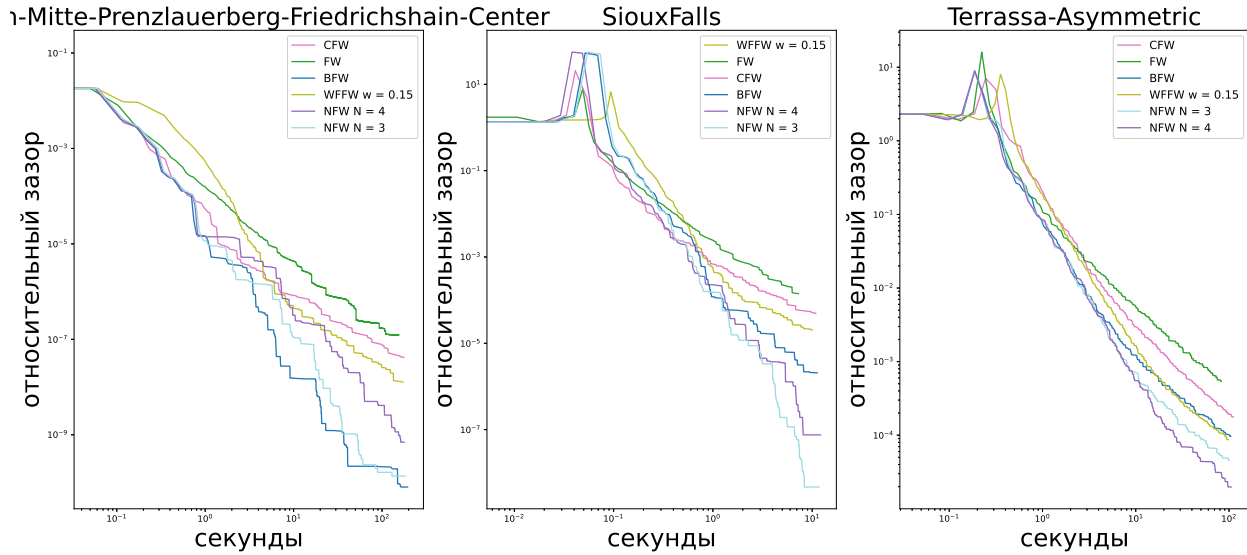


Рис. 3. Сходимость относительного зазора для алгоритмов NFW, CFW, BFW, WFFW, FW по времени (в секундах) на датасетах: Berlin-Mitte-Prenzlauerberg-Friedrichshain-Center, SiouxFalls, Terrassa-Asymmetric.

Сходимость относительного зазора на разных городах

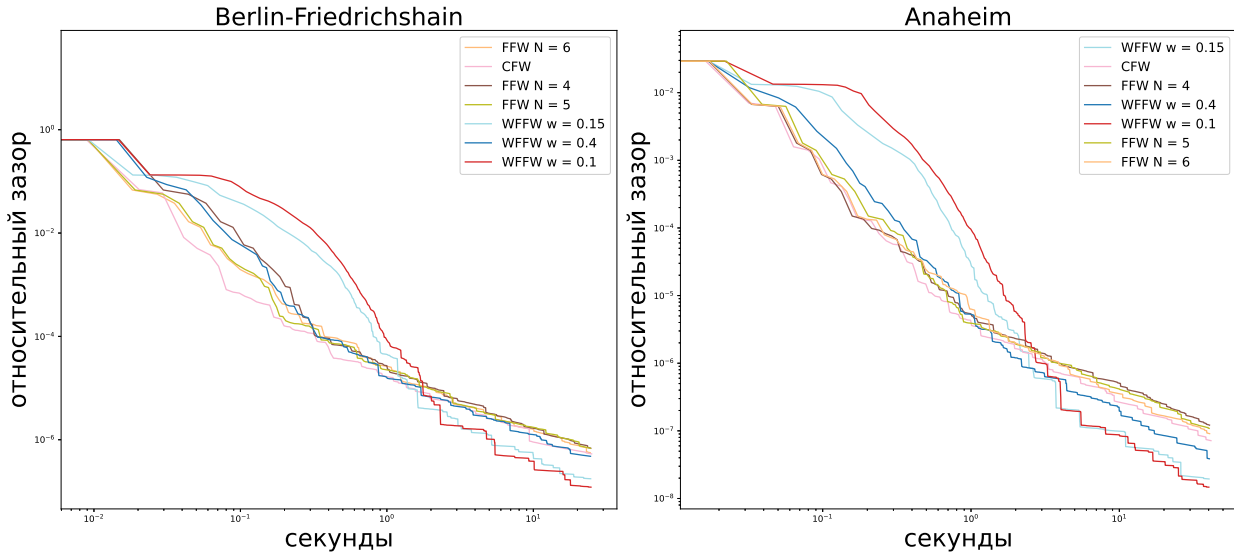


Рис. 4. Сходимость относительного зазора для алгоритмов FFW, WFFW, CFW по времени (в секундах) на датасетах: Anaheim, Berlin-Friedrichshain

что на данном датасете практически все модификации при различных значениях N продемонстрировали превосходство над моделью с $N = 3$. Более того, Bi-conjugate FW показал себя менее эффективным, отстающим от всех рассмотренных алгоритмов.

Из результатов экспериментов можно сделать вывод, что при использовании гиперпараметра модели $N = 3$ не всегда достигаются лучшие результаты по сравнению с другими значениями N . Однако,

Сходимость относительного зазора на разных городах

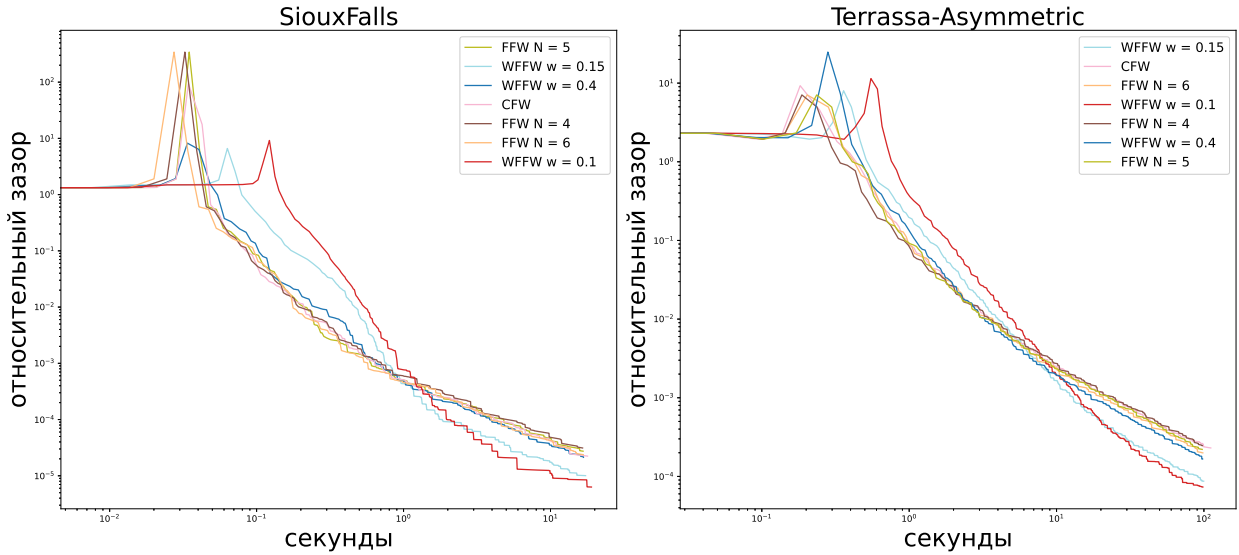


Рис. 5. Сходимость относительного зазора для алгоритмов FFW, WFFW, CFW по времени (в секундах) на датасетах: SiouxFalls, Terrassa-Asymmetric

Сходимость относительного зазора на разных городах

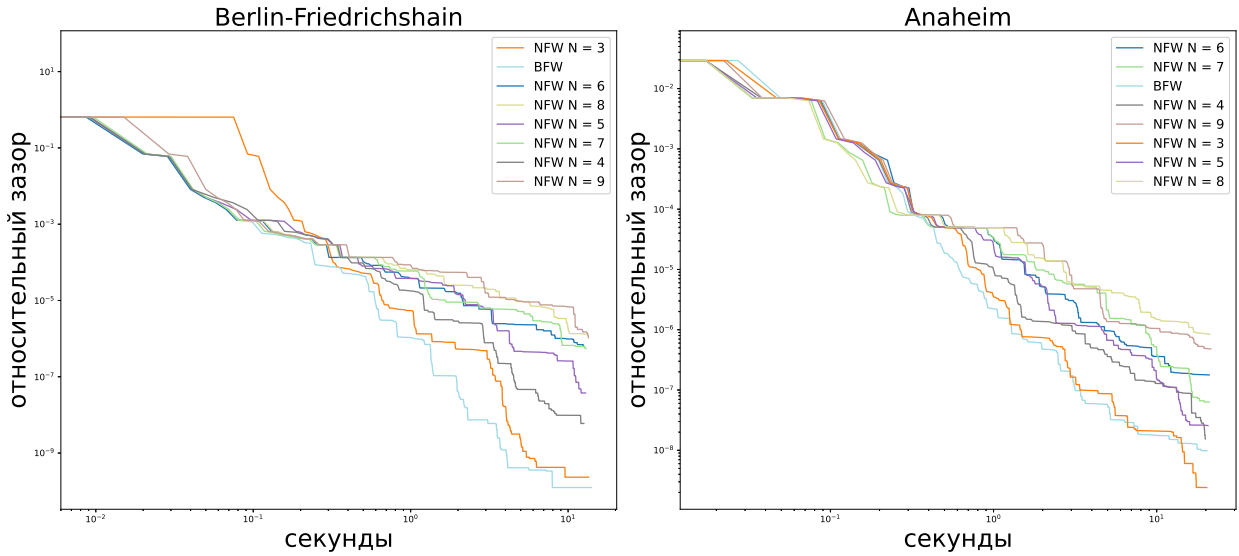


Рис. 6. Сходимость относительного зазора для алгоритмов NFW, BFW (в секундах) на датасетах: Anaheim, Berlin-Friedrichshain

в большинстве датасетов, алгоритм все же превосходит другие модификации. Интересно отметить, что иногда модели с $N > 3$ демонстрируют лучшие результаты, в то время как в некоторых случаях побеждает Bi-conjugate Frank-Wolfe.

Сравнение WFFW для разных параметров

На Рис. 8 изображены графики сходимостей WFFW при различных гиперпараметрах.

Сходимость относительного зазора на разных городах

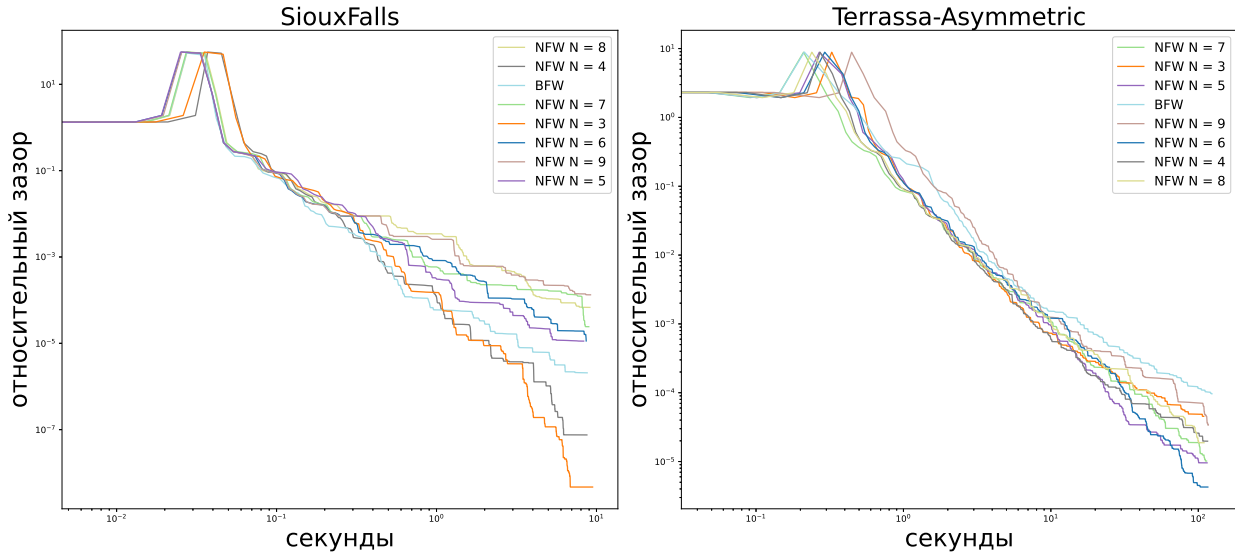


Рис. 7. Сходимость относительного зазора для алгоритмов NFW, BFW (в секундах) на датасетах: SiouxFalls, Terrassa-Asymmetric

Сходимость относительного зазора

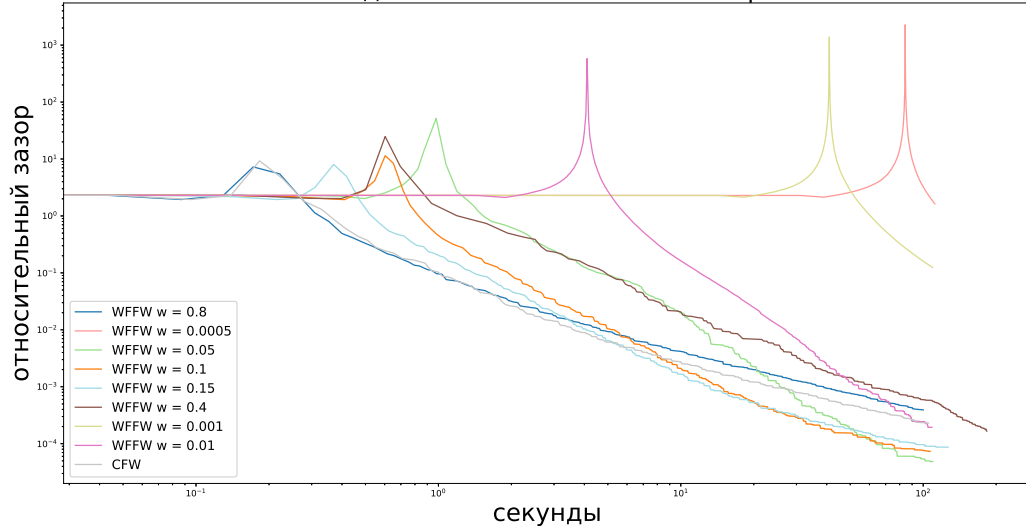


Рис. 8. Сходимость относительного зазора для алгоритмов WFFW с различными весами затухания (в секундах) на датасете: Terrassa-Asymmetric

В результате анализа выявлен оптимальный выбор коэффициента затухания для заданного временного интервала. Выбор небольшого коэффициента подразумевает, что модель в значительной степени ориентируется на предыдущие направления и производит небольшие коррекции с их учетом, используя направление FW. Установлено, что уменьшение значения коэффициента приводит к увеличению времени, в течение которого относительный зазор незначительно изменяется со временем. После накопления скорости алгоритм в первую очередь движется в направлении, противоположном опти-

мальному направлению. Позже направление начинает настраиваться на направления FW, становясь оптимальным. Тем не менее, несмотря на данное простояивание, модель начинает догонять модели с более высокими значениями коэффициента. Однако, при использовании очень малых значений коэффициента, наблюдается значительное увеличение времени простояивания.

Вывод В настоящей статье были представлены разнообразные модификации алгоритма FW, подвергнуты сравнительному анализу на различных датасетах, представляющих реальные городские условия. В свете полученных результатов можно сделать вывод о том, что среди всех представленных модификаций наилучшие характеристики проявляют модели, относящиеся к классу N-conjugate Frank-Wolfe. Замечено, что часто оптимальным выбором является модель с $N = 3$, что соответствует использованию трех последних направлений в процессе оптимизации. Также было показано абсолютное превосходство алгоритма Weighted FFW перед алгоритмом FFW.

Список литературы (References)

- Котлярова Е.В., Гасников А.В., Гасникова Е.В., Ярмощик Д.В. Поиск равновесий в двухстадийных моделях распределения транспортных потоков по сети. // Компьютерные исследования и моделирование 13:2 (2021), 365–379. Kotlyarova E.V., Gasnikov A.V., Gasnikova E.V., Yarmoshik D.V. Poisk ravnovesiy v dvukhstadiynikh modelyakh raspredeleniya transportnykh potokov po seti. // Kompyuternye issledovaniya i modelirovaniye 13:2 (2021), 365–379. (in Russian)
- Arrache S., Ouafi R. Accelerating Convergence of the Frank-Wolfe Algorithm for Solving the Traffic Assignment Problem // IJCSNS International Journal of Computer Science and Network Security, 2008, Vol. 8, No. 5, p. 181.
- Babazadeh A., Javani B., Gentile G. & Florian M. Reduced gradient algorithm for user equilibrium traffic assignment problem // Transportmetrica A: Transport Science, DOI: 10.1080/23249935.2020.1722279
- Braun G., Carderera A., Combettes C., Hassani H., Karbasi A., Mokhtari A., Pokutta S. Conditional gradient methods. 2022. arXiv preprint arXiv:2211.14103
- Frank M., Wolfe P. An algorithm for quadratic programming. // Naval Research Logistics Quarterly. 1956. Vol. 3, No. 1-2, pp. 95-110.
- Fukushima M. A modified Frank-Wolfe algorithm for solving the traffic assignment problem. // Transportation Research Part B: Methodological 18(2):169-177. 1984. <https://www.sciencedirect.com/science/article/pii/0191261584900298>
- Mitradjieva M., Lindberg P.O. The Stiff Is Moving—Conjugate Direction Frank-Wolfe Methods with Applications to Traffic Assignment // Transportation Science, 2012, Vol. 47, No. 2, p. 280-293.
- Pedregosa F., Negiar G., Askari A., Jaggi M. Linearly Convergent Frank-Wolfe with Backtracking Line-Search. // Proceedings of the 23rd International Conference on Artificial Intelligence and Statistics. 2020. <https://arxiv.org/pdf/1806.05123.pdf>
- Rahman R., Hasan S. Data-Driven Traffic Assignment: A Novel Approach for Learning Traffic Flow Patterns Using a Graph Convolutional Neural Network. // Department of Civil, Environmental Engineering, and Construction Engineering, University of Central Florida // Email: rezaur.rahman@knights.ucf.edu, samiul.hasan@ucf.edu
- Stabler B., Bar-Gera H., Sall E. Transportation Networks for Research. // URL : <https://github.com/bstabler/TransportationNetworks>. (дата обращения: 20.12.2023)

